

## 人工衛星リモートセンシングによる積雪状況の観察

日本大学 正員 塙 穀  
 フ ク 西川 雄  
 フ 学 福山 康

## 1 はじめに

平野部が少なく、地形が急峻で流域面積の比較的小さな河川を多く持つ我が国にとっては、冬季の積雪が水資源の貴重な貯留成分と見える。このような積雪としての水資源を有効的に利用するためには、積雪量、融雪量の状態を正確に把握する必要があるが、広範囲な山岳地帯の積雪成層から積雪深測定の困難さ、融雪機構の複雑さ故にかたかむづかれい。このような現状の中で、最近、人工衛星リモートセンシングデータの広域、周期性を活用した積雪域の経年変化および積雪面積の測定、Dagrea - Day 法など従来の融雪量予測法と組み合せた融雪量の推定など、人工衛星リモートセンシングデータを積雪水文学の分野に活用する試みがこれまで成果をあげてゐる。本研究は NOAA および RANDSAT 衛星からうえた 1981 年融雪期の上越国境の積雪状態を例にとり、人工衛星リモートセンシングデータによる積雪状況の観察の一例を報告するものである。

## 2. 人工衛星からうえた積雪域

我が国において、積雪状態が観察でき、比較的容易に入手できる人工衛星リモートセンシングデータは NOAA、LANDSAT データが一般的である。NOAA 衛星の地上解像度は約 1 km で、我が国では毎日午前 8 時、午後 7 時半頃のシーンが入手できる。一方、LANDSAT 衛星は地上解像度約 80 m で、我が国では午前 9 時頃のシーンが入手できる。Fig. 1 は 1981 年 4 月 23 日午前 8 時 12 分 NOAA によりとらえられた日本列島の姿を示す。Fig. 1 の NOAA 映像は、可視域、熱赤外データから作成した合成画像で、白く写っている部分ほど地表温度が低いことを示している。この時期、本州ではすでに融雪期に入っているが、北陸から東北にかけての日本海側だけの積雪域があることは、我が国の降雨パターンの特徴を明瞭に認められる。Fig. 2.1～2.4 は LANDSAT によりとらえられた同じく 1980 年末から 1981 年 6 月までの上越国境を中心とした積雪域を示している。Fig. 2 の LANDSAT 映像は、積雪域の軸方向に有効である可視域データ（バンド 5）の白黒濃度表示画像である。Fig. 2-1 が積雪期の初期のシーンで、残り 3 枚の写真が融雪期における積雪域の減少の状況を示してあり、これらの映像は、積雪域減少パターンと地形との関係を知るために役立つ。

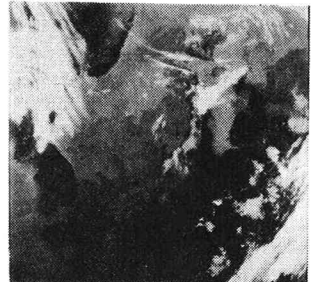


Fig. 1 NOAA 映像(1981.4.23)



Fig. 2-1 RANDSAT 映像(1980.11.12)



Fig. 2-2 RANDSAT 映像(1981.3.18)



Fig. 2-3 RANDSAT 映像(1981.4.23)

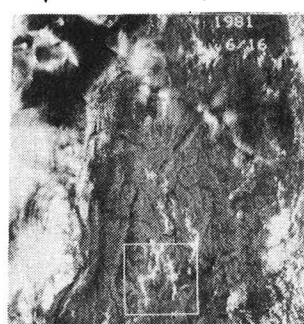


Fig. 2-4 RANDSAT 映像(1981.6.16)

### 3. 画像解析処理による積雪状況の観察

LANDSAT データは、地上の物体が太陽の光を受けて反射してくれる電磁波を複数の波長帯に分け、その輝度を電気信号に変えて記録し地上に伝送してきるものである。これらのデータはコンピュータに利用できるフォーマットに変換(カセット)したところ、このデータをコンピュータで演算、処理することによって、単に視覚的に利用するのではなく、利用目的に応じた定量的な情報を得ることができるのでこの解析を画像解析処理といい、これがリモートセンシングデータ利用の最大の特徴である。この画像解析処理により、利根川上流矢木沢ダム流域(Fig.3参照)の融雪期における積雪状況も視覚化した画像の例をFig.4～Fig.6に示した。Fig.4は1981年3月18日、4月23日、6月16日のLANDSAT 映像から矢木沢ダム流域の範囲を切り出し、積雪域だけを抽出して重ね合わせた画像である。この画像から、融雪期における雪線の後退の様子を知ることができます。Fig.5は高等線と4月23日の積雪域を重ね合わせた画像である。この画像から、地形と融雪状態との関係を知ることができます。

Fig.6はLANDSATデータから確認できる融雪現象特性

積雪面積の経時変化を示すFig.6は、矢木沢流域の融雪期LANDSAT 3シーンから求めた積雪面積を示して得たもので、積雪量の多い1981年と少ない1979年に対するものも示したが、いずれも季節の進行に従って融雪速度が増大していくことがわかる。

Fig.4～Fig.6を見て共通していることは、流域の東側すなわち本谷をはさんで西に向かってある山腹斜面の方が反対側の東向きの山腹斜面に比べると全体的に融雪が進んでいる傾向がわかる。この現象は、融雪エネルギーが太陽と雪面の温度差に基づく顯熱交換量と太陽光による放射吸収量との合計と考えられ、西向き山腹斜面への放射吸収量のピークが太陽の位置関係により東向き山腹斜面よりも時間的には遅れがあり、顯熱交換量の増大時と一緒に時間的には午後に融雪エネルギーのピークが西向き山腹に起こると考えると説明がつく(Fig.7参照)。この現象は、ほとんど円錐形もしくは富士山の積雪状態を例にとっても明らかである(Fig.8参照)。Fig.8はLANDSAT 映像も数値地形モデルも用いて3次元表示した画像である。

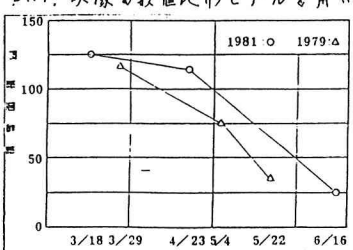


Fig.6 積雪面積の経時変化

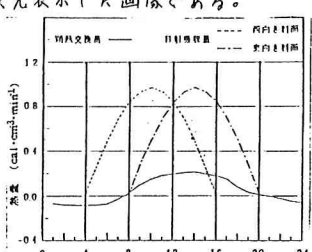


Fig.7 日射吸収量と顯熱交換量の変化

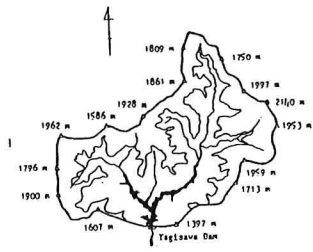


Fig.3 矢木沢ダム流域概略図

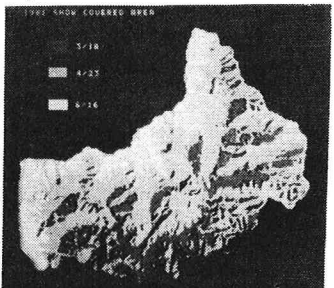


Fig.4 積雪域重ね合わせ画像

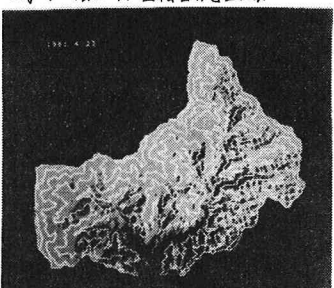


Fig.5 等高線と積雪域重ね合わせ画像

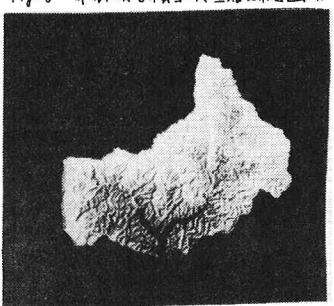


Fig.6 雪面反射率分類画像

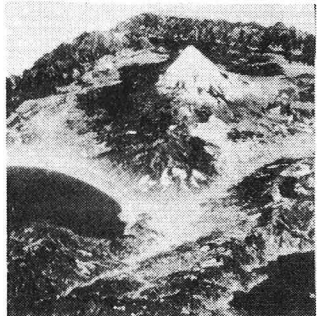


Fig.8 LANDSAT映像3次元表示画像